

## Grafička ilustracija pogreške u rješenju sustava linearnih jednadžbi

### 1 Uvod

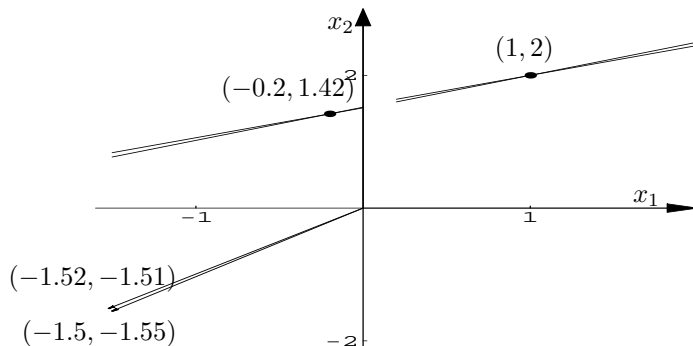
Zadan je sustav linearnih jednadžbi

$$\begin{aligned} 0.5x_1 - x_2 &= -1.5 \\ 0.45x_1 - x_2 &= -1.55, \end{aligned} \tag{1}$$

čija rješenja su  $x_1 = 1$  i  $x_2 = 2$ . Pretpostavimo da smo greškom мало promijenili desnu stranu sustava te da sustav sada glasi

$$\begin{aligned} 0.5x_1 - x_2 &= -1.52 \\ 0.45x_1 - x_2 &= -1.51. \end{aligned} \tag{2}$$

Rješenja novog sustava su  $x_1 = -0.2$  i  $x_2 = 1.42$ . Na *Slici 1.* prikazane su uređeni parovi rješenja sustava (1) i (2), dobiveni kao sjecišta odgovarajućih pravaca. Uočimo da je malena promjena desne strane sustava uzrokovala veliku promjenu rješenja.



Slika 1.

Općenito, prilikom rješavanja sustava linearnih jednadžbi

$$\mathbf{Ax} = \mathbf{b}, \quad \mathbf{A} \in \mathbb{R}^{n \times n}, \quad \mathbf{b} \in \mathbb{R}^n,$$

mogu se u elementima vektora  $\mathbf{b}$  kao i matrice  $\mathbf{A}$  pojaviti pogreške. Te pogreške kao što smo vidjeli na prethodnom primjeru mogu ponekad za posljedicu imati izrazito veliku promjenu rješenja sustava. Zanima nas o čemu ta promjena ovisi. U tu svrhu analizirat ćemo problem rješavanja sustava dviju linearnih jednadžbi s dvije nepoznanice.

## 2 Sustav dviju linearnih jednadžbi s dvije nepoznacice

Pretpostavimo da je  $\mathbf{x}^* = [x_1^*, x_2^*]^T$  rješenje sustava linearnih jednadžbi

$$a_{11}x_1 + a_{12}x_2 = b_1, \quad a_{11}^2 + a_{12}^2 = 1, \quad (3)$$

$$a_{21}x_1 + a_{22}x_2 = b_2, \quad a_{21}^2 + a_{22}^2 = 1. \quad (4)$$

Označimo s  $p_1$  i  $p_2$  pravce čije su jednadžbe (3) i (4). Neka je  $\varphi \in \langle 0, \frac{\pi}{2} \rangle$ ,  $\varphi = \angle(p_1, p_2)$  kut između pravca pravaca  $p_1$  i  $p_2$ . Vrijedi da je

$$\cos \varphi = a_{11}a_{21} + a_{21}a_{22}.$$

Nakon jednostavnog računa dobivamo da rješenja sustava jednadžbi (3)-(4) iznose:

$$x_1^* = \frac{a_{22}b_1 - a_{12}b_2}{a_{11}a_{22} - a_{12}a_{21}} \quad \text{i} \quad x_2^* = \frac{a_{11}b_2 - a_{21}b_1}{a_{11}a_{22} - a_{12}a_{21}}. \quad (5)$$

Zbog pogrešaka umjesto sustava (3)-(4) rješavamo sustav

$$a_{11}x_1 + a_{12}x_2 = b_1 + \Delta b_1 \quad (6)$$

$$a_{21}x_1 + a_{22}x_2 = b_2 + \Delta b_2, \quad (7)$$

gdje su  $\Delta b_1$  i  $\Delta b_2$  pogreške. Označimo li s  $\tilde{\mathbf{x}}^* = [\tilde{x}_1^*, \tilde{x}_2^*]^T$  rješenje sustava (6)-(7), nakon jednostavnog računa dobivamo da su:

$$\tilde{x}_1^* = \frac{a_{22}(b_1 + \Delta b_1) - a_{12}(b_2 + \Delta b_2)}{a_{11}a_{22} - a_{12}a_{21}} \quad \text{i} \quad \tilde{x}_2^* = \frac{a_{11}(b_2 + \Delta b_2) - a_{21}(b_1 + \Delta b_1)}{a_{11}a_{22} - a_{12}a_{21}}. \quad (8)$$

Relativno odstupanje vektora  $\tilde{\mathbf{x}}^*$  od vektora  $\mathbf{x}^*$  mjerit ćemo brojem

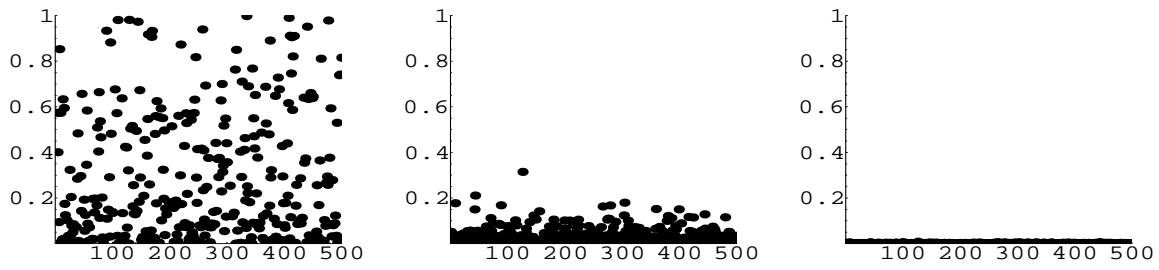
$$\eta_R := \frac{\|\tilde{\mathbf{x}}^* - \mathbf{x}^*\|^2}{\|\mathbf{x}^*\|^2} = \frac{(x_1^* - \tilde{x}_1^*)^2 + (x_2^* - \tilde{x}_2^*)^2}{(x_1^*)^2 + (x_2^*)^2}.$$

Iz (5) i (8) dobivamo da je

$$\eta_R = \frac{(\Delta b_1)^2 + (\Delta b_2)^2 - 2\Delta b_1 \Delta b_2 \cos \varphi}{b_1^2 + b_2^2 - 2b_1 b_2 \cos \varphi}. \quad (9)$$

Prema (9) očigledno  $\eta_R$  bitno ovisi o kutu  $\varphi$ , što ćemo ilustrirati sljedećim numeričkim eksperimentom.

**Primjer 1.** Neka su  $\Delta b_1^{(i)}, \Delta b_2^{(i)} \sim \mathcal{N}(0, 0.05)$ ,  $b_1 = 2, b_2 = 0.1$  te  $\varphi_1 = \frac{\pi}{100}, \varphi_2 = \frac{\pi}{10}$  i  $\varphi_3 = \frac{\pi}{2}$ . Na Slici 2. prikazane su točke  $(i, \eta_R^{(i)})$ ,  $i = 1, \dots, 500$  redom za kutove  $\varphi_1, \varphi_2$  i  $\varphi_3$ .



Slika 2.

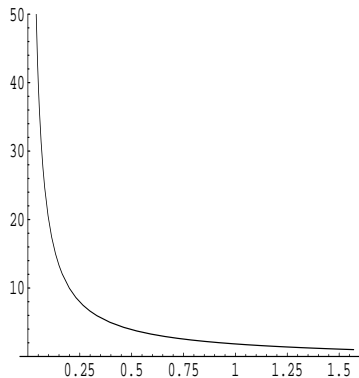
U prethodnom primjeru uočavamo da za male kutove  $\varphi$  dobivamo velike brojeve za  $\eta_R$ . Također primijetimo da je

$$\eta_R = \frac{((\Delta b_1)^2 + (\Delta b_2)^2)(1 + \cos \varphi) - (\Delta b_1 + \Delta b_2)^2 \cos \varphi}{(b_1^2 + b_2^2)(1 - \cos \varphi) + (b_1 - b_2)^2 \cos \varphi} \leq \kappa^2(\varphi) \frac{(\Delta b_1)^2 + (\Delta b_2)^2}{b_1^2 + b_2^2}, \quad (10)$$

pri čemu je

$$\kappa(\varphi) := \sqrt{\frac{1 + \cos \varphi}{1 - \cos \varphi}}. \quad (11)$$

Na *Slici 3.* prikazan je graf funkcije  $\kappa$  odakle vidimo da je  $\kappa$  padajuća funkcija kuta  $\varphi$ .



Slika 3.

Primijetimo da formulu (9) možemo zapisati u obliku

$$(x_1^* - \tilde{x}_1^*)^2 + (x_2^* - \tilde{x}_2^*)^2 = r^2, \quad r := \sqrt{\frac{((x_1^*)^2 + (x_2^*)^2) \frac{(\Delta b_1)^2 + (\Delta b_2)^2 - 2\Delta b_1 \Delta b_2 \cos \varphi}{b_1^2 + b_2^2 - 2b_1 b_2 \cos \varphi}}{(x_1^*)^2 + (x_2^*)^2}}, \quad (12)$$

što u geometrijskom smislu znači da točka  $(\tilde{x}_1^*, \tilde{x}_2^*)$  leže na kružnici polumjera  $r$  sa središtem u točki  $(x_1^*, x_2^*)$ . Ilustrirat ćemo to na primjerima dvaju bitno različita sustava linearnih jednadžbi.

**Primjer 2.** Neka su  $(\Delta b_1)^{(i)}, (\Delta b_2)^{(i)} \sim \mathcal{N}(0, 0.05)$ ,  $i = 1, \dots, 250$ . Za  $i = 1, \dots, 250$  zadani su sustavi

sustav  $i$ )

$$\begin{aligned} 0.5x_1 - x_2 &= -1.5 + (\Delta b_1)^{(i)} \\ 0.45x_1 - x_2 &= -1.55 + (\Delta b_2)^{(i)}, \end{aligned} \quad (13)$$

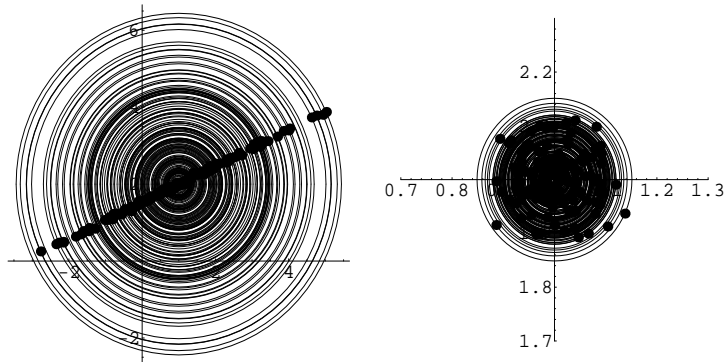
čija su rješenja  $x_1 = 1$  i  $x_2 = 2$ . Za kut  $\varphi_1$  između odgovarajućih pravaca vrijedi da je  $\cos \varphi_1 = 0.0408$ .

sustav  $ii$ )

$$\begin{aligned} 4x_1 - x_2 &= 2 + (\Delta b_1)^{(i)} \\ x_1 + 4x_2 &= 9 + (\Delta b_2)^{(i)}, \end{aligned} \quad (14)$$

čija rješenja su također  $x_1 = 1$  i  $x_2 = 2$ . Za kut  $\varphi_2$  između odgovarajućih pravaca vrijedi da je  $\cos \varphi_2 = 0$ , tj.  $\varphi_2 = \frac{\pi}{2}$ .

Na Slici 3. prikazane su redom kružnice (12) te rješenja za sustave (13) i (14). Primijekujemo da se uređeni parovi rješenja sustava (13) sadržani u elipsi sa središtem u točki  $(1, 2)$ , koja je izrazito izduljena. Za razliku od toga skup svih uređenih parova rješenja sustava (14) sadržan je u malom krugu sa središtem u točki  $(1, 2)$ .



Slika 3.

Ovako pravilno geometrijsko mjesto uređenih parova rješenja sustava iz prethodnog primjera nije posve slučajno. Za potpuno razumijevanje ove pojave potrebno nam je nekoliko važnih pojmova i tvrdnji numeričke linearne algebre, koje ćemo navesti u sljedećoj točki.

### 3 Singularna dekompozicija

Singularna dekompozicija matrice izrazito je važna i koristi se u različitim primjenama numeričke matematike. Vrijedi sljedeći teorem.

**Teorem 1.** (Demmel, 1997) Neka je  $\mathbf{M} \in \mathbb{R}^{m \times n}$  matrica ranga  $r$ . Tada postoji dijagonalna matrica

$$\Sigma = \text{diag}(\sigma_1, \dots, \sigma_r, 0, \dots, 0) \in \mathbb{R}^{m \times n}, \quad \sigma_1 \geq \sigma_2 \geq \dots \geq \sigma_r > 0$$

te ortogonalne matrice  $\mathbf{U} \in \mathbb{R}^{m \times m}$  i  $\mathbf{V} \in \mathbb{R}^{n \times n}$  takve da vrijedi

$$\mathbf{M} = \mathbf{U}\Sigma\mathbf{V}^T. \quad (15)$$

Brojeve  $\sigma_1 \geq \dots \geq \sigma_r > 0$  zovemo singularne vrijednosti matrice  $\mathbf{M}$ , a rastav (15) zovemo singularna dekompozicija matrice  $\mathbf{M}$ .

Kako je  $\mathbf{M}^T\mathbf{M} = \mathbf{V}\Sigma^T\Sigma\mathbf{V}^T$ , kvadrati singularnih vrijednosti  $\sigma_i^2$  su svojstvene vrijednosti simetrične pozitivno semidefinitne matrice  $\mathbf{M}^T\mathbf{M}$ , a stupci matrice  $\mathbf{V}$  su odgovarajući ortonormirani svojstveni vektori.

*Primjedba 1.* Pretpostavimo da je  $\mathbf{M} \in \mathbb{R}^{n \times n}$  kvadratna regularna matrica te da njezina singularna dekompozicija glasi

$$\mathbf{M} = \mathbf{U} \text{diag}(\sigma_1, \dots, \sigma_n) \mathbf{V}^T,$$

pri čemu su  $\sigma_i \neq 0$ ,  $i = 1, \dots, m$ . Jednostavno se vidi da singularna dekompozicija matrice  $\mathbf{M}^{-1}$  glasi

$$\mathbf{M}^{-1} = \mathbf{V} \text{diag}\left(\frac{1}{\sigma_1}, \dots, \frac{1}{\sigma_n}\right) \mathbf{U}^T.$$

U sljedećem jednostavnom primjeru vidjet ćemo kako odrediti singularnu dekompoziciju matrice iz  $\mathbb{R}^{2 \times 2}$ .

**Primjer 3.** Zadana je matrica  $\mathbf{M} = \begin{bmatrix} 1 & 2 \\ 2 & 1 \end{bmatrix}$ . Jednostavno se može pokazati da su  $\lambda_1 = 9$  i  $\lambda_2 = 1$  svojstvene vrijednosti matrice  $\mathbf{M}^T\mathbf{M}$ , a

$$\mathbf{v}_1 = \left[ \frac{1}{\sqrt{2}}, \frac{1}{\sqrt{2}} \right]^T \quad i \quad \mathbf{v}_2 = \left[ \frac{-1}{\sqrt{2}}, \frac{1}{\sqrt{2}} \right]^T,$$

odgovarajući normirani svojstveni vektori. Prema tome imamo da su

$$\mathbf{V} = \begin{bmatrix} \frac{1}{\sqrt{2}} & \frac{-1}{\sqrt{2}} \\ \frac{1}{\sqrt{2}} & \frac{1}{\sqrt{2}} \end{bmatrix} \quad i \quad \Sigma = \begin{bmatrix} 3 & 0 \\ 0 & 1 \end{bmatrix}.$$

Primijetimo da (15) možemo zapisati u obliku

$$\mathbf{U}\Sigma = \mathbf{MV},$$

odakle dobivamo je

$$\mathbf{U} = \begin{bmatrix} \frac{1}{\sqrt{2}} & \frac{1}{\sqrt{2}} \\ \frac{-1}{\sqrt{2}} & \frac{1}{\sqrt{2}} \end{bmatrix}.$$

Konačno, singularna dekomozicija matrice  $\mathbf{M}$  glasi:

$$\mathbf{M} = \begin{bmatrix} 1 & 2 \\ 2 & 1 \end{bmatrix} = \begin{bmatrix} \frac{1}{\sqrt{2}} & \frac{1}{\sqrt{2}} \\ \frac{-1}{\sqrt{2}} & \frac{1}{\sqrt{2}} \end{bmatrix} \begin{bmatrix} 3 & 0 \\ 0 & 1 \end{bmatrix} \begin{bmatrix} \frac{1}{\sqrt{2}} & \frac{-1}{\sqrt{2}} \\ \frac{1}{\sqrt{2}} & \frac{1}{\sqrt{2}} \end{bmatrix}^T.$$

Vratimo se sada sustavu linearnih jednadžbi (3)-(4), odnosno (6)-(7) te primijetimo da za odgovarajuću matricu sustava  $\mathbf{A}$  vrijedi da je

$$\mathbf{A}^T \mathbf{A} = \begin{bmatrix} 1 & \cos \varphi \\ \cos \varphi & 1 \end{bmatrix}.$$

Jednostavno se vidi da su svojstvene vrijednosti matrice  $\mathbf{A}^T \mathbf{A}$  jednake  $\lambda_1 = 1 + \cos \varphi$  i  $\lambda_2 = 1 - \cos \varphi$  te da odgovarajuće singularne vrijednosti matrice  $\mathbf{A}$  glase:

$$\sigma_1 = \sqrt{1 + \cos \varphi}, \quad \sigma_2 = \sqrt{1 - \cos \varphi}.$$

To znači da matricu  $\mathbf{A}$  možemo zapisati u obliku

$$\mathbf{A} = \mathbf{U} \operatorname{diag}(\sqrt{1 + \cos \varphi}, \sqrt{1 - \cos \varphi}) \mathbf{V}^T,$$

gdje su  $\mathbf{U} \in \mathbb{R}^{2 \times 2}$  i  $\mathbf{V} \in \mathbb{R}^{2 \times 2}$  ortogonalne matrice. Uzmemo li u obzir da je  $\mathbf{x}^*$  rješenje sustava (3)-(4), a  $\tilde{\mathbf{x}}^*$  rješenje sustava (6)-(7) te ako oduzmemo ta dva sustava dobivamo da je

$$\tilde{\mathbf{x}}^* = \mathbf{x}^* + \mathbf{A}^{-1} \Delta \mathbf{b} = \mathbf{x}^* + \mathbf{V} \operatorname{diag}\left(\frac{1}{\sqrt{1 + \cos \varphi}}, \frac{1}{\sqrt{1 - \cos \varphi}}\right) \mathbf{U}^T \Delta \mathbf{b}. \quad (16)$$

Neka je

$$K(0, \|\Delta \mathbf{b}\|) := \{\mathbf{y} : \|\mathbf{y}\|^2 = \|\Delta \mathbf{b}\|^2\} \subseteq \mathbb{R}^2$$

kružnica sa središtem u ishodištu polumjera  $\|\Delta \mathbf{b}\|$ . Uočimo da je u tom slučaju skup

$$\mathbf{A}^{-1} K(0, \|\Delta \mathbf{b}\|) := \{\mathbf{V} \operatorname{diag}\left(\frac{\|\Delta \mathbf{b}\|}{\sqrt{1 + \cos \varphi}}, \frac{\|\Delta \mathbf{b}\|}{\sqrt{1 - \cos \varphi}}\right) \mathbf{U}^T \mathbf{u} : \|\mathbf{u}\| = 1\},$$

zarotirana elipsa sa središtem u ishodištu čije poluosi leže na stupcima matrice  $\mathbf{V}$  te imaju duljinu  $\frac{\|\Delta \mathbf{b}\|}{\sqrt{1 + \cos \varphi}}$  i  $\frac{\|\Delta \mathbf{b}\|}{\sqrt{1 - \cos \varphi}}$ .

Prema (16) to znači da se vektor  $\tilde{\mathbf{x}}^*$  nalazi na elipsi  $E(\mathbf{x}^*)$  sa središtem u točki  $x^*$  čije poluosi leže na stupcima matrice  $\mathbf{V}$  te imaju duljinu  $\frac{\|\Delta \mathbf{b}\|}{\sqrt{1 + \cos \varphi}}$  i  $\frac{\|\Delta \mathbf{b}\|}{\sqrt{1 - \cos \varphi}}$ . Sada je očito da su duljine poluosi elipse  $E(\mathbf{x}^*)$  približno jednake ako je kut  $\varphi \approx \frac{\pi}{2}$ . Ako je  $\varphi \approx 0$  duljina druge poluosi izrazito velik broj, što znači da se odgovarajuća elipsa degenerira u pravac.

## 4 Kondicija matrice i opći sustav

Neka su  $\sigma_1$  i  $\sigma_2$ ,  $\sigma_1 \geq \sigma_2$  singularne vrijednosti matrice regularne  $\mathbf{A} \in \mathbb{R}^{2 \times 2}$ . Označimo li s  $\text{cond}(\mathbf{A}) := \frac{\sigma_1}{\sigma_2}$  uočavamo da zbog (11) vrijedi da je

$$\kappa(\varphi) = \text{cond}(\mathbf{A}) = \frac{\sigma_1}{\sigma_2}.$$

To znači da formulu (10) možemo zapisati u obliku:

$$\frac{\|\tilde{\mathbf{x}}^* - \mathbf{x}^*\|}{\|\mathbf{x}^*\|} \leq \text{cond}(\mathbf{A}) \frac{\|\Delta \mathbf{b}\|}{\|\mathbf{b}\|}.$$

Broj  $\text{cond}(\mathbf{A})$  zovemo **kondicija** matrice  $\mathbf{A}$ .

Općenito, kondiciju proizvoljne matrice  $\mathbf{A} \in \mathbb{R}^{m \times n}$  definiramo kao (Press at al., 1989; Scitovski, 1999):

$$\text{cond}(\mathbf{A}) := \frac{\sigma_1}{\sigma_r},$$

pri čemu je  $\sigma_1$  najveća, a  $\sigma_r$  najmanja pozitivna singularna vrijednost matrice  $\mathbf{A}$

Prepostavimo da je zadan sustav linearnih jednadžbi

$$\mathbf{Ax} = \mathbf{b}, \quad \mathbf{A} \in \mathbb{R}^{n \times n}, \quad \mathbf{b} \in \mathbb{R}^n, \quad (17)$$

no zbog pogreške rješavamo sustav

$$\mathbf{Ax} = \mathbf{b} + \Delta \mathbf{b}. \quad (18)$$

Ako s  $\mathbf{x}^*$  označimo rješenje sustava (17), a s  $\tilde{\mathbf{x}}^*$  rješenje sustava (18), može se pokazati (Press at al., 1989; Scitovski, 1999) da vrijedi

$$\frac{\|\tilde{\mathbf{x}}^* - \mathbf{x}^*\|}{\|\mathbf{x}^*\|} \leq \text{cond}(\mathbf{A}) \frac{\|\Delta \mathbf{b}\|}{\|\mathbf{b}\|}. \quad (19)$$

Slične se ocjene mogu pokazati i slučajevima kada se pogreška pojavljuje u matrici  $\mathbf{A}$ , te kada se pojavljuju istovremeno i u matrici  $\mathbf{A}$  i u vektoru  $\mathbf{b}$ . Više o tome se može naći u (Press at al., 1989; Scitovski, 1999).

## Literatura

J. W. Demmel, *Applied Numerical Linear Algebra*, SIAM, Philadelphia, 1997.

W. H. Press, B. P. Flannery, S. A. Teukolsky, W. T. Vetterling, *Numerical Recipes*, Cambridge University Press, Cambridge, 1989.

R. Scitovski, *Numerička matematika*, Elektrotehnički fakultet Osijek, Osijek, 1999.